



دراسات حول جزء المالتين وتحليله ومقارنته ما بين نفط خام كركوك الخفيف ونفط خام القيارة ثقيل  
المدرس الدكتور رؤى قاسم يحيى سليمان الأجار  
الاستاذ الدكتور طيف حميد علي

### الخلاصة

تضمن البحث ازالة الاسفلتين (Asphaltenes) في الخطوة الأولى من النفوط الخام (نفط خام كركوك الخفيف ونفط خام القيارة الثقيل) باستخدام مذيب بارافيني خفيف (الهكسان الطبيعي) ومن ثم اخذ ما تبقى من النفط الخام المتمثل بالمالتين (Maltenes) وتقديره تقريباً بسيطاً الى (C<sub>6</sub>) لازالة مذيب الترسيب (n-C<sub>6</sub>) والنفاث (C<sub>7</sub>-C<sub>12</sub>). تمت تجزئة المالتين (C<sub>7</sub>-C<sub>12</sub>) حسب طريقة تستند الى "كروماتوغرافيا السائل-صلب" وتتضمن اسلوبين ؛ الاسلوب الاول طريقة "الكروماتوغرافيا فقط" والاسلوب الثاني طريقة "الاستخلاص بالمذيبات- كروماتوغرافيا". استخدم المذيب المثيل اثيل كيتون لترسيب الشموع من المالتين بالتبrier الى (C<sub>7</sub>-C<sub>17</sub>) في طريقة "الاستخلاص - كروماتوغرافيا"؛ اما الجزء المتبقى والمتمثل بالذيبات (Oils) فقد اخذ لاكمال الفصل بطريقة "الكروماتوغرافيا"؛ وبالاسلوب نفسه المتبع بطريقة الكروماتوغرافيا وحدها" باستخدام عمود الكروماتوغرافيا المعباً بمادة ذات سطح نشط (الومينا منشطة عند درجة حرارة (C<sub>400</sub>) ولمدة (16))، وباستخدام مذيبات مناسبة فيعطي اجزاءاً تتباين في قطبيتها وخواصها؛ ولكنلا الاسلوبيين طريقة "الكروماتوغرافيا فقط" و "طريقة الاستخلاص بالمذيبات كروماتوغرافيا" فقد تم الحصول على الاجزاء الاساسية الآتية :-

- المواد المشبعة (Saturated compounds) باستخدام مذيب بارافيني (الهكسان الطبيعي).
- المواد الأروماتية (Aromatic compounds) باستخدام مزيج (المذيبان الهكسان الطبيعي التولوين).
- المواد القطبية (Polar compounds) باستخدام مزيج المذيبان (الميثanol- ثنائي كلوريد المثيلين).

تم تعين النسبة المئوية الوزنية لهذه الاجزاء النفعية المستحصلة ودراستها عن طريق قياس الاشعة تحت الحمراء والأشعة فوق البنفسجية وطيف الرنين النووي المغناطيسي (البروتون والكاربون (13C))؛ كما تم دراسة المقارنة لبعض النماذج المستحصلة لكلٍ من النفط الخفيف والنفط التقليل لنقدير نسبة الكاربون الأروماتية بطريقة طيفية مطورة اعتماداً على قياس طيف امتصاص الأشعة فوق البنفسجية للنماذج مقارنة مع نموذج المقارنة القياسي (محضر من مركبات أروماتية مختلفة والذي نجد له قيم Actual % C<sub>A</sub>) نسب المحتوى الكاريوني الأروماتي الحقيقي وبإجراء علاقة رياضية مع ( $\sum A$ ) وتمثل محصلة مجموع الامتصاصات المستحصلة لنموذج المقارنة القياسي عند الاطوال الموجية (250, 260, 270, 280, 290 nm) تمثل محصلة مجموع الأوزان الناتجة عن الفص لوراق Tracer ( $\sum AUCE$ ) (300, 310, 320nm) و ( $\sum AUCE$ ) (320-250 nm) للمساحات المستحصلة من المنطقة الأروماتية تحت منحني الطيف للأشعة فوق البنفسجية بين (320-250 nm) لنموذج المقارنة القياسي، ومن هذه العلاقات نحصل على المنحني القياسي Calibration (curve) الذي من خلاله سيتم ايجاد قيم Actual% CA (النماذج (قيد الدراسة)، ويتم ايجاد قيم ( $\sum A$ ) و ( $\sum AUCE$ ) من خلال اجراء القياسات الطيفية باستخدام طيف الاشعة فوق البنفسجية ضمن المدى 250-320 nm).

**الكلمات المفتاحية:** نفط خام خفيف، نفط خام ثقيل، المالتين، الكروماتوغرافيا، الاستخلاص بالمذيبات- كروماتوغرافيا، المحتوى الكاريوني الأروماتي.



## Studies on the maltene fraction, its analysis, and comparison between Kirkuk Light and Qayyarah Heavy crude oils

Assistant Professor Dr. Ruwa Qasim Yahya Sulaiman Al-Ajar

Professor Dr. Latif Hamid Ali

### Abstract

The research project in this thesis include deasphalting of (Qaiyarah heavy crude oil and Kirkuk light crude oil) Using alight paraffin solvent (n-hexane). The residual maltenes were distilled to remove the solvent and the light naptha up to 120°C.

The Maltenes fraction was fractionated via liquid-solid chromatography. The latter operation further achieved through two sequences:

a- Direct liquid-solvent chromatography.

b- A pre-solvent extraction followed by liquid solid chromatography [extrography].

Methyl ethyl ketone was used as a solvent to precipitate the maltene waxes by cooling to (-17°C) in the extrography method.

The part left behind after extraction is called oils which was fractionated by chromatography on Alumina that was activated at (400°C) for (16 h).

The major Sub-fractions were obtained using the following elution sequence:-

-Saturates (S) by n-hexane.

-Aromatics (A) by a mixture of n-hexane and toluene, and

-Polars (P) by a mixture of methanol and methylene di-chloride.

Some spectrometric investigations (IR, UV, NMR) were conducted on sub-fractions in order to throw some light on their nature. The Aromatic content of some of the obtained fractions was determined using a developed spectrophotometric method based on the measurement of the area under the (UV-Vis) spectral curve, and comparison with the absorption spectral curve of a standard mixture of pure aromatic compounds  
**Keywords:** Light crude oil, heavy crude oil, maltitating, chromatography, solvent extraction-chromatography, aromatic carbon content.

### المقدمة :Introduction

يشغل العراق المرتبة الثانية عالميا في حجم الاحتياطيات النفطية والغاز الطبيعي ( Petroleum and gas )، والاحتياطي المثبت في العراق هو حوالي (112.5) بليون برميل.(1-2) وقد تم تحديد عروق



النفط الرئيسية أو مستودعاته في شمال العراق ووسطه.(3) وفي ادناه اهم خواص النفط العراقي ومواصفاته:

### 1- نفط كركوك الخام

ينتج هذا النفط من منطقة بابا كركر بالقرب من مدينة كركوك في شمال العراق ويعد من النفوط الخفيفة وذلك لانه يحتوي على كميات كبيرة نسبيا من الاجزاء الخفيفة والتي يمكن تقطيرها بسهولة ونسبتها تقربيا (30%) وزنا ، لذلك يعد من النفوط الجيدة ويمكن الاستفادة من جميع الاجزاء المختلفة منه حتى مخلفات تقطيره.(3)

### 2- نفط القيارة الخام

ينتج نفط القيارة الخام من آبار النفط العراقية الشمالية قرب مدينة القيارة التي تقع على بعد (60) كيلومتر جنوب مدينة الموصل وعلى بعد (350) كيلومتر تقريبا شمال مدينة بغداد. ويعد هذا النفط الخام هو من النفوط الثقيلة التي تحتوي على كميات قليلة من المواد المتطايرة حوالي (10%) وكميات كبيرة من الاسفلتين حوالي (10.1%) وذات محتوى كبريتى عال تقريبا (8.0%) (بعضا منه على شكل الكبريت حر مذاب في النفط) مما جعله من النفوط غير الجيدة.(3)

لقد تم إجراء بعض الدراسات من لدن باحثين في قسم الكيمياء(4) على نفط القيارة ومنها التجزئة وازالة الشمع واستخلاص المركبات الأروماتية باستخدام المذيب سلفوكسيد ثنائي الميثيل (DMSO)، كما اجريت دراسات اخرى (5) و (6) على التكسير الحراري للاسفلتين ومخلفات التقطير لنفط القيارة الخام وكذلك عن استخدام طرق تحليلية جديدة في تجزئة النفط الخام وتم اعطاء مفصل للتوزيع الكاربوني في جميع الاجزاء والنواتج عن عمليات المعاملة الحرارية، وتبعتها دراسة تكميلية أخرى على نفط القيارة الخام تضمنت دراسة نوعية وكمية لبعض مركبات الكبريت العضوية التي يكثر وجودها في النفط الخام ومشتقاته وكذلك دراسة عملية لتهشم الحراري للجزء الخفيف من نفط القيارة C (130 - 205)، بهدف إزالة اكبر ما يمكن من الكبريت الموجود فيه و حث مكونات المزيج بواسطة التأثير الحراري على تكوين المركبات الأروماتية الخفيفة و دراسة المتغيرات التركيبية لمعظم أجزاء المزيج فضلاً عن النواتج السائلة من عمليات التهشم الحراري.(7)

### - الكروماتوغرافيا والاستخلاص (Chromatographic method and extraction)

الامتراز ظاهرة تجمع مادة بشكل جزيئات أو ذرات أو ايونات على سطح مادة أخرى أساسها ان المواد الصلبة بامكانها ان تربط مركبات اخرى على سطحها الواسع ومن الممكن استبدال هذه المواد الممتززة بواسطة مركبات اخرى ويصاحب عملية الامتراز هذه انخفاض في الطاقة الحرة لجيس (AG) للسطح الذي تحدث عليه؛ تبعا للقانون العام للطاقة ( $\Delta G = \Delta H - T\Delta S$ ). (8-9).

في بداية القرن العشرين؛ بصورة عامة فان كل طرائق الكروماتوغرافيا وضفت لتجزئة النفط الخام (10-11) من خلال ملاحظة الفصل الذي يتم بواسطة الاختلاف في اللون للمكونات المفصولة فمثلا انتقائية الامتراز للمواد الأروماتية على السليكا جيل؛ (12-13) وهناك عدة دراسات وبحوث اجريت مستخدمة طرائق تحليل كروماتوغرافي لتحليل الاجزاء النفطية مثل الدراسات التي اجريت كطريقة لتقدير (PAHs) باستخدام عمود الكروماتوغرافيا و اخرى اجريت على اجزاء نفطية للخام الثقيل بالاعتماد على طريقة DeSnyder polarities تقنية كروماتوغرافيا العمود (او ما تدعى بالامتراز الكروماتوغرافي او كولوم الكروماتوغرافيا) وتعد طرق اساسية لتجزئة النفط وقد نالت اكبر انتباه خلال السنوات العديدة الماضية وهم : (15)



-United States Bureau of Mines-American Petroleum Institute SBM-API.

-The Saturate-Aromatic-Resin-Asphaltene (SARA) method.

إن الفصل بطريقة سارا (SARA method) يعد مثلاً على التحليل حسب نوع المجموعة (Group type analysis) اعتماداً على الاختلاف في الذوبائية والقطبية، وهي طريقة فصل كروماتوغرافية لنموذج منزوع الاسفلتين مسبقاً على سليكا او الومينا منشطة مع (n-C<sub>5</sub>) او (n-C<sub>7</sub>) ، حيث يزال الاسفلتين بخطوة مسبقة (بالترسيب) مع مذيب بارافيني ، والنفط مزال الاسفلتين (DAO) يفصل الى (Aromatics, Resins Saturates) بواسطة الفصل الكروماتوغرافي.(17) فعلى سبيل المثال فان الراتنجات تفصل بهذه التقنية وتستخلص بمذيبات (باز ديداد القطبية)،(18) واستخدمت الطريقة في عدة بحوث والعديد من البحوث لا مجال لذكرها. في الحقيقة ان اختيار المادة المازة يكون اعتباطيا (Arbitrary)،(19-21) ومن اهم المواد المستخدمة كمواد مازة (Adsorbent) في عملية الامتزاز السليكا جيل و Silica gel والألومينا Alumina والكاربون المنشط Activated carbon (22-24).

أما الاستخلاص (Solvent extraction) الاستخلاص بالمذيب فهو عملية فصل مكونات مزيج بمساعدة مذيب مختار حيث يتم فصل المواد السائلة حسب قابليتها على الذوبان في طبقة سائلة أخرى غير قابلة للامتزاج بالمادة الأصلية وفي الوقت نفسه يمكن استعادة المذيب بسهولة ونقاوة، والمادة الذائبة قد تكون صلبة او سائلة، ويعتمد مذيب الاستخلاص على الاختلاف في الازابة للمواد حيث تعزى قابلية الذوبان الى طبيعة او نوع الجزيئية بالدرجة الأولى والى حجم الجزيئية بالدرجة الثانية.(9,25) ان تداول ممارسة الاستخلاص بالمذيبات يوضح أهمية الطريقة لفصل التراكيز العالية مثلاً من المواد الأروماتية متبعاً بتقطير تجزيئي لفصلي الاجزاء الأروماتية، وان الانقاضية العالية للمذيبات المستعملة يخفض تعقيد عمليات التقطير اللاحقة والمذيبات يجب أن لا تسبب التأكل (Non-corrosive) وغير فعالة وثابتة حرارياً وتعد الطريقة الأداة الأكثر تداولاً لاستعادة البنزين والتولوين في حالاتها النقية.(13) يتم تكوين العمود بصورة نهائية عن طريق الغسل المستمر بالمذيب وعندما يمر المذيب خلال المزيج الذي يحتوي على عدة مكونات فان المكونات المختلفة ستتساب بسرعة مختلفة مما يؤدي الى فصلها وفي ظروف مناسبة يمكن اخذها في العمود وجمعها على شكل اجزاء منفصلة.(26)

### ـ استخدام الطرائق الطيفية في إلقاء الضوء على تراكيب الأجزاء النفطية

تعد الطرائق الطيفية من الطرائق التحليلية(27-28) وقد أثبتت الدراسات الطيفية في منطقة الأشعة (VIS-UV) Ultra violet absorption spectroscopy إن بعض الانتقالات الالكترونية قد تتمركز على مجموعة كيميائية معينة في جزيئه وهذا يعني أن الجزيئات المختلفة التي تحتوي على المجموعة الكيميائية نفسها قد تعطي حزم امتصاص الكترونية تظهر باطوال موجية متقاربة (فمثلاً الأوليفينات Olefins على مجموعة اثيلينية -C=C-) تظهر بصورة مميزة في منطقة الاطوال الموجية nm 200-150-150 نتائج لهذه المجموعة الكروموفورية Chromophores، وهكذا بالنسبة لبقية الاجزاء النفطية الحاوية على مجاميع كروموفورية.(1)

### الهدف (Aim)

انصبّت دراسة البحث حول المقارنة للجزء الماليتي في نوعين من النفوط نفط خام كركوك الخفيف ونفط خام القيارة (التقيل وكانت الأهداف الأساسية للبحث التقدير الكمي للكarbon الأروماتي في المستقررات النفطية ومخلفات التقطير الجوي بالاستناد الى "كروماتوغرافيا السائل صلب" ومن ثم دراسة الأجزاء المستحصلة بالطريق الطيفية المتوفرة. ولم تقتصر الدراسة على الاستنتاجات المبنية في أعلى، بل تم اجراء قياسات



باستخدام طيف الأشعة فوق البنفسجية بعد إذابة الأجزاء المستحصلة بكل طريقي الفصل (الكروماتوغرافيا والاستخلاص-الكروماتوغرافي) في مذيب مناسب لغرض تشخيصها.

كما قد تناول البحث طريقة مطورة باستخدام الأشعة فوق البنفسجية لتقدير الكاربون الأروماتي في نفط كركوك الخفيف ونفط القيارة النقل بهدف التوصل إلى طرائق - والتي ستنظرق إليها في هذا البحث وتم تثبيتها لفصل الجزء الأروماتي- ذاتفائدة ملحوظة في فصل وتعريف وتقدير هذه المركبات المهمة على المستوى الاقتصادي والصناعي وفي الوقت نفسه تعين نسبة وجودها في مقومات البيئة الأساسية.

#### الأجهزة المستخدمة:

- جهاز قياس طيف الأشعة تحت الحمراء Infrared Spectrometer

تم إجراء القياس في جامعة الموصل / كلية التربية ، باستخدام الجهاز : Fourier - Transform (FT-IR) spectrophotometer Tensor/Brucker,2003, (Germany).

- جهاز قياس طيف الأشعة فوق البنفسجية Ultraviolet spectrometer

تم إجراء القياس في جامعة الموصل / كلية العلوم / قسم الكيمياء ، باستخدام الجهاز : Shimadzu, Uv- 165 ops,u.v-visile Spectrophotometer (Japan)

- طيف الرنين النووي المغناطيسي NMR:

تم قياس طيف الرنين النووي المغناطيسي للبروتون (  $^1\text{H}$ NMR ) وللكاربون 13 (  $^{13}\text{C}$ NMR ) الجمهورية العربية السورية باستخدام الجهاز ruker 400 MKZ - Christ Heraus GmbH osterooe Am Harz HC 120/ Abofuge. ( تم فصل الاسفلتين من اضافة مذيب بارافيني خفيف الى النفط الخام باستعمال جهاز Christ Heraus GmbH osterooe Am Harz HC 120/ Abofuge. و فرن كهربائي ( تم تجفيف النماذج النفطية المستحصلة من طرائق التجزئة باستخدام الجهاز Hirayama/Drying oven - model Dof-450. و فرن حجري ( تم تنشيط الألومنيا والسليكا جيل عند العمل باستخدام جهاز Thermoline/ 1200c muffle furnace (1).)

- جهاز الرج الكهربائي (Shaker) (تم فصل الاسفلتين عن المالتين باستخدام الجهاز Shaker Karlkolb, Scientific technical supplies Buchschiag - Frankfurt/West Germany/Edmund Buhler / Tubingen. او جهاز طرد مركزي (Centerfuge) ( تم فصل الاسفلتين المترسب من اضافة مذيب بارافيني خفيف الى النفط الخام باستعمال جهاز Christ Heraus GmbH osterooe Am Harz HC 120/ Abofuge. و فرن كهربائي ( تم تجفيف النماذج النفطية المستحصلة من طرائق التجزئة باستخدام الجهاز Hirayama/Drying oven - model Dof-450. و فرن حجري ( تم تنشيط الألومنيا والسليكا جيل عند العمل باستخدام جهاز Thermoline/ 1200c muffle furnace (1).)

#### الطرائق العملية Experimental

##### ـ فصل الاسفلتين من النفط الخام بالترسيب:

يتم في الخطوة الأولى ترسيب الاسفلتين باستخدام (n-C<sub>5</sub>) كمذيب ترسيب (29) حيث تم إضافة (200 mL) من الهكسان الطبيعي إلى (10 g) من النفط الخام (نفط خام كركوك أو نفط خام (القيارة موزون بدقة إلى ثلاثة مراتب بعد الفاصلية في دورق زجاجي مخروطي سعة (1Lt) نظيف وجاف موزون مسبقاً وبعد سد المخروط بإحكام يرج المحلول الناتج ميكانيكياً باستخدام جهاز الرج (Flask hacker) ولمدة أربع ساعات في درجة حرارة المختبر. بعدها يفصل راسب الاسفلتين بواسطة جهاز الطرد المركزي (Centrifuge) بسرعة rpm (1000) ولمدة عشر دقائق وبعدها يتم ترشيح محتوى أنابيب الطرد المركزي على ورق ترشيح جاف وموزون (Filter paper) داخل قمع فصل انتيادي (Funnel) ليتم إجراء عملية ترشيح لما تبقى من الاسفلتين غير المفصول (ترشحها انتيادياً تحت الضغط الجوي)، ويغسل الراسب في الأنابيب



بالهكسان الطبيعي ( $2 \times 10\text{mL}$ ) وكذلك الدورق المخروطي ثم يتم تجفيف الدورق المخروطي وأوراق الترشيح والأنباب (tubes) ويحسب وزن الاسفلتين فيها.(1)

#### - استعادة المالتين بعد فصل الاسفلتين:

يتم اخذ محلول الناتج (المنزوع (الاسفلتين) ويوضع داخل دورق تقطير (Round bottomed Flask) سعة (500 mL) ويربط مع جهاز التقطير لإجراء تقطير بسيط إلى ( $^{\circ}\text{C} 120$ ) في حمام زيتى يتم فيه استعادة المذيب المستخدم الهكسان الاعتيادي عند درجة غليانه ( $^{\circ}\text{C} 69-68$ ) وتجمع النفاث العذرية بين -72 ( $^{\circ}\text{C} 120$ )(1).

#### - تجزئة المالتين بتقنية كرومتوغرافيا السائل تحت ضغط منخفض ضغط جوي Low Pressure Liquid Chromatography [LPLC]

يُحضر عمودان زجاجيان (columns) بالأبعاد التالية (50) سم طولاً و (22) مم قطراء داخلياً ومجهزة في أسفلها بصنبور زجاجي للسيطرة على سرعة إمرار المذيبات. يوضع أسفل كل منها وعند فتحة الصنبور الزجاجي قطعة من صوف الزجاج (Glass wool) في وتملاً الأعمدة بوزن معين (60 g) من الألومينا منشطة محضره مسبقاً بأخذ جفنة نظيفة وجافة ويتم وزن حوالي (120 g) من الألومينا المتعادلة 120-60 mesh فيها وتنقل الى فرن حجري (Thermoline 1200c muffle furnace) وتنشط حرارياً الى ( $^{\circ}\text{C} 400$ ) ولمدة ست عشرة ساعة (30)، وبعد أن يبرد الفرن يتم إخراجها وتضاف بالتساوي إلى العمودين الزجاجيين (60 g) في كل عمود. و يتم تكوين العمود بصورة نهائية عن طريق الغسل المستمر بالمذيب وعندما يمر المذيب خلال الخليط الذي يحتوي على عدة مكونات فان المكونات المختلفة ستتساب بسرعة مختلفة مما يؤدي الى فصلها وفي ظروف مناسبة يمكن اخذها من العمود وجمعها على شكل اجزاء منفصلة.(26) بعدها يضاف الهكسان الطبيعي إلى العمودين بهدوء شرط ان يكون فوق مستوى سطح الألومينا المنشطة بحوالي (2 cm) ويراعى عدم ترك الأعمدة تجف حتى اثناء الاستخدام عند العمل، كما يجب أن يكون العمود متجانساً خالياً من الفقاعات الهوائية وتكون الحشوة فيه متوازنة.(1)

#### - تحضير النماذج :

تمثل النماذج التي أجريت الدراسة عليها بما يأتي:

I- نفط خام كركوك خالٍ من الاسفلتين ومنزوع النفاث الخفيفة ( $^{\circ}\text{C} 120$  ).

II- نفط خام القيارة خال من الاسفلتين ومنزوع النفاث الخفيفة ( $^{\circ}\text{C} 120$  ).

#### - طريقة التجزئة بالكروماتوغرافيا : Column Chromatographic method

يتم وزن g 10.000 من كل من (I) و (II) وبدقة إلى حد ثالث مراتب بعد الفاصلة ويتم إذابتها في الهكسان الطبيعي (20 mL) ثم تضاف إلى الأعمدة كل على حدة؛ يفتح الصنبور ويجمع الهكسان من أسفل العمود لحين انخفاض المستوى الأعلى إلى حوالي (1 cm) فوق الألومينا وعندها يضاف (200 mL) من المذيب (الهكسان الطبيعي) بالتدرج لفصل الأجزاء المشبعة (Saturated)، ويوضع أسفل العمود دورق مخروطي لجمع الأجزاء المشبعة المفصولة من الجزء المستقر بواسطة المذيب بعملية الموج ويتم ضبط سرعة الانسياب (4-5) قطرة في الدقيقة أي ما يعادل حوالي (0.4mL/min) وعند النهاية سوف نلاحظ أن الهكسان الطبيعي النازل من أسفل العمود نقى وخالٍ من المواد النفطية بدليل اختفاء اللون، وتنتشرق العملية حوالي ثمانية ساعات تقريباً.(1)

ولفصل الأجزاء الأروماتية Aromatics نستمر بعملية المج بإضافة مزيج مكون من (60 mL) من الهكسان الطبيعي مع (140) من التولوين وتنتهي عملية المج للمواد الأروماتية باختفاء اللون لمزيج المذيبين و تستغرق العملية حوالي ست ساعات تقريباً. وأخيراً يتم جمع الأجزاء القطبية (polars) المحتجزة في العمود بإضافة مزيج آخر مكون من mL (75) من الميثanol مع (mL75) من ثنائي كلوريد المثيلين وسرعة انسياپ (2.0 mL/min) وعند النهاية نلاحظ اختفاء اللون لمزيج المذيبان دلالة على الخلو من المواد النفطية كما ونلاحظ أن الألومينا في العمود قد استعادت لونها تقريباً نسبة لما كانت عليه قبل حصول عمليات المج. أما الأجزاء المشبعة المفصولة بطريقة الاستخلاص كروماتوغرافياً ف يتم جمعها من الجزء المستقطر بواسطة المذيب بعملية المج ويتم ضبط سرعة الانسياپ (25) قطرة في الدقيقة أي ما يعادل حوالي (m/min2.5) وعند النهاية سوف نلاحظ أن الهكسان الطبيعي النازل من أسفل العمود نقى وحال من المواد النفطية بدليل اختفاء اللون، كذلك تجمع الأجزاء الأروماتية Aromatics بعملية المج بإضافة مزيج مكون من (60 mL) من الهكسان الطبيعي مع 140 mL من التولوين وتنتهي عملية المج للمواد الأروماتية باختفاء اللون لمزيج المذيبين ويتم ضبط سرعة الانسياپ (25) قطرة في الدقيقة أي ما يعادل حوالي (2.5ml/min)، وأخيراً يتم جمع الأجزاء القطبية (polars) المحتجزة في العمود بإضافة مزيج آخر مكون من (75mL) من الميثanol مع (75 mL) من ثنائي كلوريد المثيلين ويتم ضبط سرعة الانسياپ (25) قطرة في الدقيقة أي ما يعادل حوالي (2.5 m/min) وعند النهاية نلاحظ اختفاء اللون لمزيج المذيبان دلالة على الخلو من المواد النفطية كما ونلاحظ أن الألومينا في العمود قد استعادت لونها تقريباً نسبة لما كانت عليه قبل حصول عمليات المج.(1)

وبعد أن يتم جمع الأجزاء القطبية في دورق مخروطي ثالث تبقى مادة في العمود (عادة في قمته) تمثل المخلفات (Reside) يتم تقطير الأجزاء الثلاثة المستحصلة كل على حدة تقطيرأ اعتيادياً بسيطاً داخل دورق دائري سعة (500 mL) وتستعاد المذيبات عند درجات غليانها فمثلاً المزيج الحاوي على المواد الأروماتية مع التولوين والهكسان الطبيعي يقطر عند (C 68-69) وكذلك عند (C 100) وتمثل مديات غليان الهكسان الطبيعي والتولوين على التوالي. كما قد تم استعادة المذيبات وذلك بإجراء عمليات تقطير تجزئي لفصل المذيبات الممتزجة كل على حدة وذلك بتقطير كل مذيب عند درجة غليانه. أما الأجزاء النفطية المستحصلة من عمليات المج والتي تشمل الأجزاء الثلاثة (المشبعة والأروماتية والقطبية) فتؤخذ لتجفف داخل فرن كهربائي من نوع drying Model. Dof-450 (Hirayama) - بحيث لا تتجاوز حرارته (50°C) وبذلك سنحصل على الأجزاء الآتية: المواد المشبعة Saturated compounds ويرمز لتلك من نفط خام كركوك (K.S1) ومن نفط خام القيارة (Q.S1)، والمواد الأروماتية Aromatic compounds ويرمز لتلك من نفط خام كركوك (K.A1) ومن نفط خام القيارة (Q.A1)، والمواد القطبية Polar compounds ويرمز لتلك من نفط خام كركوك (K.P1) ومن نفط خام القيارة (Q.P1). ويتم وزن المشتقات المستحصلة بدقة لتعيين النسب الوزنية لها ولإعدادها لدراسات لاحقة(1)

### - طريقة التجزئة بالاستخلاص - كروماتوغرافيا :- chromatographic method

يوزن بدقة (g 10.000 ) (أي إلى حد ثلاثة مراتب بعد الفاصلة) من المستقرات النفطية الخالية من الأسفالتين من نفط خام كركوك أو القيارة ويضاف إليها (100 mL) من مذيب المثيل أثيل كيتون ويوضع في وعاء (Beaker) ويتم تسخينه مع التحريك بواسطة محرك مغناطيسي (Magnetic stirrer) لكي تكون الحرارة متجانسة وتضبط درجة الحرارة بحيث لا تتجاوز (C 50) وتستمر العملية لمدة 15 دقيقة داخل غرفة سحب الأبخرة (Hood). ثم يتم إجراء ترشيح حار وذلك بأخذ أوراق ترشيح جافة وموزونة وتوضع على قمع فصل موضوع داخل دورق مخروطي موزون سعة mL 250 (مع مراعاة تدفئة الأدوات



المستخدمة في الترشيح لإجراء الترشيح الحار). وعند انتهاء الترشيح سيترسب الاسفلتين التقيل الذي لم يتم ترسبيه مسبقاً على ورق الترشيح وجدران الوعاء (Beaker) (الموزون مسبقاً أما الراشح في الدورق المخروطي (Conical) فيمثل المالتين وهو الجزء النفطي (120) الخالي من الاسفلتين.(1)

يتم تجفيف الـ (Beaker) وأوراق الترشيح وتوزن وتحسب النسبة المئوية الوزنية للاسفلتين التقيل ويرمز له (H.A.) أما الراشح فيوضع في حمام ثلجي (مبروش من الثلج مع ملح الطعام والاسيتون بنسب اعتباطية) بحيث تصبح درجة الحرارة (C° -17) للراشح، ثم تحضر ورقة ترشيح موزونة وتوضع على قمع فصل موضوع داخل دورق مخروطي آخر ويتم وضعها جميعاً في المجمدة (Freezer) لإيقائهما باردة لفترة نصف ساعة بعدها يجرى ترشيح بارد لفصل الشموع (Wax) ويرمز لها في حالة نفط خام كركوك (K.W.) ولنفط خام القيارة (Q.W.). وبعد اكتمال الترشيح يجفف الراسب على جدران الدورق المخروطي الموزون وورقة الترشيح ويوزن وتحسب النسبة المئوية الوزنية للشموع أما الراشح فيمثل الزيوت (Oils) ويرمز له في نفط خام كركوك (K.O.) وفي نفط خام القيارة (Q.O.). يؤخذ الراشح ويتم إجراء عملية تقطير بسيطة لإزالة المذيب (المثيل أثيل كيتون) الذي سيقتصر عند درجة غليانه. ثم يتم تجفيف الزيوت في فرن كهربائي (Oven) بحيث لا تتجاوز الحرارةداخله (C° 100) وبعد أن يتم وزن بدقة لحد ثلاثة مراتب عشرية وتذوب في الهكسان الطبيعي (200 mL) ثم تضاف لعمود كروموتوغرافيا مهياً وتجرى عملية تجزئة كروموتوغرافية.(1)

بعد انهاء عملية التجزئة الكروموتوغرافية على المالتين وبعد انتزاع الشمع والاسفلتين العادي والتقييل منه تكون قد حصلنا على الأجزاء الثلاثة الآتية: المواد المشبعة Saturated compounds، والمواد الأروماتية Aromatic compounds، والمواد القطبية Polar compounds. ويتم دراسة وتشخيص هذه الأجزاء المستحصلة ايضاً عن طريق قياس الأشعة تحت الحمراء والأشعة فوق البنفسجية وقياس طيف الرنين النووي المغناطيسي (البروتون وللكاربون 13 الكمي).(1)

#### - قياس امتصاص الأشعة تحت الحمراء FTIR

تم قياس طيف الأشعة تحت الحمراء للأجزاء الأروماتية المستحصلة بطريقتي ( الكروموتوغرافيا والاستخلاص - كروموتوغرافيا) للأجزاء القطبية من نفطي خام كركوك الخفيق والقيارة التقيل المستحصلة بطريقة الكروموتوغرافيا وحدتها باستخدام قرص بروميد البوتاسيوم اللامائي (KB) أما بقية الأجزاء النفطية (المستحصلة بطريقة التجزئة) من كلا النفتين فقد تم قياس طيف الأشعة تحت الحمراء لها باستخدام قرص من كلوريد الصوديوم.(1)

#### - قياس امتصاص الأشعة فوق البنفسجية:

تم قياس طيف امتصاص الأشعة فوق البنفسجية للفوتو خام وجميع أجزائها المفصولة باستخدام مذيب ملائم وفي خلية من السليكا ذات مسار ضوئي بطول (mm10) وضمن المدى (nm-190nm1100).(1)

#### - قياس طيف الرنين النووي المغناطيسي:

تم قياس طيف  $^{1}H$ NMR للأجزاء النفطية المستحصلة بطريقة التجزئة (الأجزاء الأروماتية لنفط خام كركوك ونفط خام القيارة) بطريقة الكروموتوغرافيا وطريقة الاستخلاص - كروموتوغرافيا. وقد تمت دراسة الأجزاء المفصولة من اعدة الفصل الكروموتوغرافيا باستخدام المساحة تحت المنحنى وعن طريق تحديد امتصاصات البروتونات. كما قد تم قياس طيف  $^{13}CNMR$  (للأجزاء النفطية الأروماتية المستحصلة بطريقة امتصاصات البروتونات.



الاستخلاص - كروماتوغرافيا لنفط خام كركوك ونفط خام القيارة) باستخدام المذيب  $CDCl_3$  الجزء المالتيني من النفط الخام.(1,31)

- طريقة طيف الأشعة فوق البنفسجية لتقدير محتوى الكاربون الأروماتي في الجزء المالتيني من النفط الخام:

أ- تحضير نموذج المقارنة القياسي :- يحضر النموذج من مزيج من مركبات احادية وثنائية وثلاثية الحلقة الأروماتية التي تذاب في الدوديكان الطبيعي (n-Dodecane) وقد تمأخذ كميات معينة ووزونة بدقة لحد رابع مرتبة عشرية لكل من المركبات الآتية: الزايلين واثيل البنزين (كمركبات احادية الحلقة الأروماتية) والفتالين و 2 ، 6 - ثنائي مثيل فثالين كمركيبات ثنائية الحلقة الأروماتية؛ وأخيراً الفيناثرين ( عن المركبات ثلاثة الحلقة الأروماتية).(1)

ب- إعداد المنحنى القياسي Calibration Curve :- يخفف النموذج المحضر مسبقا في الفقرة أعلاه بحيث نحصل على محليل تحوي التراكيز النسبية التالية للمركبات الأروماتية الحقيقة المستخدمة في تكوين النموذج القياسي والتراكيز بدلالة (w/v %) / المدونة في الجدول رقم (1) حيث يتمأخذ (0.5 mL) من المزيج ويخفف إلى (250 mL) في الهكسان الحلقي (Reagent grade) الذي جرى تقطيره تجزئيا وامراره في عمود يحوي على سليكا جل هلام (السليكا) منشطة لمدة (16 h) في فرن حجري تحت حرارة (260 °C) للتأكد من نقافة المذيب المستخدم (الهكسان الحلقي)؛ لكي يكون صالحاً لقياسات الطيفية الحساسة مثل امتصاص الأشعة فوق البنفسجية. ونعد محلول المخفف (تركيز 0.002) يعادل نسبة (100%) ويتم تحضير محليل المخففة البقية باتباع النسق نفسه واعتماد نسبة محلول المخفف السابق في حساب نسبة لإيجاد قيمة CA Actual %، ومن خلال إجراء القياسات الطيفية باستخدام طيف الأشعة فوق البنفسجية ضمن المدى (220-320 nm) يتم إيجاد قيم مجموع الامتصاصات ( $\sum A$ )؛ ( $\sum A$ ) و ( $\sum AUCE$ ) والتي ستجد من خلالها المنحنى القياسي (Calibration curve) (1).

**الجدول 1** النسبة المئوية لمحتوى الكاربون الأروماتي الحقيقي للمحاليل المخففة المحضرة من مزيج نموذج المقارنة القياسي

المسلسل	التركيز للمحاليل المحضرة ( % w/v )	% CA ( Actual ) بالمزيج
1	0.0999	9.507
2	0.1499	8.5563
3	0.1998	7.6056
4	0.2498	6.6549
5	0.2997	5.7042
7	0.3996	3.8028
8	0.4496	2.8521
9	0.4995	1.9014

إن الهكسان الحلقي والدوبيكان الطبيعي يمتصان عند طول موجي قرب (210) و (200) نانومتر على التوالي، حيث تمثل ( $\sum A$ ) مجموع الامتصاصات المستحصلة عند الأطوال الموجية 300، 310، 320(nm) بينما \* ( $\sum AUCE$ ) تمثل الأوزان الناتجة عن القص لأوراق (Trace paper) للمساحات المستحصلة من المنطقة الأروماتية تحت منحنى الطيف للأشعة فوق البنفسجية بين 250- (320 nm)



$(\Sigma \text{AUCE})^*$  =Summation of area under the curve estimation

ج - التقدير الطيفي لمحتوى الكاربون الأروماتي في جزء المالتين من النفط الخام: يذاب (0.5 mL) من المالتين (بعد إزالة الأسفلتين بواسطة الهاكسان الطبيعي) في (250 mL) من الهاكسان الحلقي ويقاس مجموع امتصاصات الأشعة فوق البنفسجية في المجال (nm) 250، 260، 270، 280، 290، 300، 310، 320. ويجب التأكد من أن يكون أعلى امتصاص أثناء القياس لا يتجاوز 2.0 Absorbance units. يتم إجراء تخفيف بالهاكسان الحلقي تخفيفاً كميّاً، يستعمل مجموع الامتصاصات لحساب محتوى الكاربون تبعاً إلى علاقة مشتقة تعطى في النتائج والمناقشة لاحقاً.(1)

## النتائج والمناقشة Results and Discussion

ومن خلال دراستنا حاولنا تجزئة كلا النفتين حسب نوع المجموعة باستخدام (طريقة التجزئة طريقة الكروماتوغرافيا وطريقة الاستخلاص - كروماتوغرافيا) وذلك باستخدام مذيبات ملائمة لفصل كل مجموعة على حدة وتحت ظروف ملائمة. ففي طريقة الكروماتوغرافيا تم تجزئة كل من مالتين نفط خام كركوك (K.S.1) ومالتين نفط خام القيارة إلى ثلاثة مجاميع وهي: المواد المشبعة ويرمز لتلك من نفط خام كركوك (K.A.1) ومن نفط خام القيارة (Q.S.1) والممواد الأروماتية ويرمز لتلك من نفط خام كركوك (K.P.1) ومن نفط خام القيارة (Q.A.1) وأخيراً المواد القطبية ويرمز لتلك من نفط خام كركوك (K.P.1) ومن نفط خام القيارة (Q.P.1). أما طريقة الاستخلاص - كروماتوغرافيا، فقد ارتأينا استخدام مذيب المثليل اثنيل كيتون في البداية وتحت التبريد  ${}^{\circ}\text{C}$  (17) - لغرض استخلاص الشموع من النفوط، وكانت النسبة الوزنية للشموع المستخلصة من مالتين نفط خام كركوك أعلى مما هي عليه من الشموع المستخلصة من مالتين نفط القيارة الخام، وهذا دليل على ارتفاع نسبة المواد المشبعة في نفط كركوك الخفيف الخام وانخفاض نسبتها في نفط القيارة التقليد، وبعد إنتهاء عملية الاستخلاص السابقة تبقي لدينا (الزيوت) فقمنا بإجراء عملية تجزئة كروماتوغرافية عليها باتباع نفس طريقة الكروماتوغرافيا السابقة على الجزء المالتيني لنماذج نفط خام كركوك الخام ونفط خام القيارة وبالتالي نسبها للمذيبات المضافة، وبذلك تم تجزئة هذه الزيوت حسب نوع المجموعة أيضاً وحصلنا على الأجزاء الآتية: المواد المشبعة ويرمز لتلك من نفط خام كركوك (K.S.2) ومن نفط خام القيارة (Q.S.2) والممواد الأروماتية ويرمز لتلك من نفط خام كركوك (K.A.2) ومن نفط خام القيارة (Q.A.2) وأخيراً المواد القطبية ويرمز لتلك من نفط خام كركوك (K.P.2) ومن نفط خام القيارة (Q.P.2). (1)

## الجدول 2 الصفات العامة لمكونات المالتين المفصولة من نفطي خام كركوك والقيارة منزوعة الأسفلتين

نفط خام القيارة		نفط خام كركوك		الجزء المفصول
اصفر غامق، زتي	49.40	برتقالي محمر، لزج	53.40	الأجزاء المشبعة / الكروماتوغرافيا
بني داكن، لزج	22.80	بني غامق، صلب سهل التقى	18.24	الأجزاء الأروماتية / الكروماتوغرافيا
اسود، صلب	10.20	بني - اسود، هش	11.20	الأجزاءقطبية / الكروماتوغرافيا
اصفر فاتح جداً، زتي	41.66	احمر مصفر، قليل الزوجة	47.05	الأجزاء المشبعة / الاستخلاص - كروماتوغرافيا
بني محمر، لزج	26.07	احمر مصفر، عالي الزوجة	19.00	الأجزاء الأروماتية / الاستخلاص - كروماتوغرافيا
بني محمر قاتم، لزج	17.14	بني غامق، عالي الزوجة	12.01	الأجزاءقطبية / الاستخلاص - كروماتوغرافيا
بني غامق - اسود	55.56	بني محمر - اسود	69.33	الزيوت
بني - اسود، داكن	15.40	بني غامق، داكن	21.50	الشموع
بني - اسود	18.29	اسود	8.44	الأسفلتين



ويمكننا ملاحظة اختلاف النسب المئوية الوزنية في كلا النموذجين كذلك اختلاف الألوان والصفات العامة من خلال النتائج العملية في الجدول رقم 2 في اعلاه والتي حصلنا عليها مختبرياً. ففي النماذج المستحصلة من نفط خام القيارة نلاحظ زيادة نسب المركبات الأروماتية مقارنة مع نسبها في نفط خام كركوك وبعین الوقت نلاحظ اختلاف اللون لهما، وكذلك الحال بالنسبة للأجزاء القطبية حيث تختلف نسبها الوزنية في الأجزاء المستحصلة من مالتين نفط خام القيارة عما هي عليه في مالتين نفط خام كركوك، أما الأجزاء المشبعة وكذلك الشموع مع والزيوت فنلاحظ أن نسبها الوزنية للنماذج المستحصلة من نفط خام كركوك أعلى مما هي عليه في النماذج المستحصلة من نفط خام القيارة. ومن خلال النتائج التي حصلنا عليها بطريقة التجزئة (طريقة الكرومتوغرافيا وطريقة الاستخلاص كرومتوغرافيا) فإن هذه النتائج للنسب المئوية الوزنية المستحصلة من نفط كركوك الخام ونفط القيارة الخام الجدول رقم 2 أكدت أن نفط كركوك من النفوط الخفيفة والتي تحتوي نسب عالية من المواد المشبعة ، ونفط القيارة من النفوط الثقيلة التي تحتوي نسب قليلة من المواد المشبعة وبعین الوقت يحتوي على نسب عالية من المواد الأروماتية وكذلك نسب عالية المواد القطبية (مركبات تحتوي ذرات هجينه) كما هو الحال لبقية انواع النفوط الثقيلة.(1)

#### - طيف الأشعة فوق البنفسجية (UV) للنماذج قيد الدراسة:

من خلال الاطلاع على طيف الأشعة فوق البنفسجية للنماذج قيد الدراسة المبينة تبين ظهور حزم مختلفة؛(1) إذ تظهر حزم قرب (295 nm) تابعة لمركبات متعددة الحلقة الأروماتية (Multi-rings aromatics) كما تظهر حزم قرب (270 nm) تابعة لمركبات ثنائية الحلقة الأروماتية (Birings aromatics)، أما المركبات أحادية الحلقة الأروماتية (Mono-ring aromatics) فتظهر قرب (256 nm). كما تظهر حزم قرب كل من (204,225 nm) وهذا النوع من الحزم يشير إلى وجود مركبات تحوي ذرات هجينه هي الكبريت والأوكسجين والناتيروجين. فلو رجعنا إلى طيف الأجزاء المشبعة في النقطين تحت الدراسة (كركوك والقيارة) فمن خلال موقع الحزم يتبيّن لنا وجود مركبات متعددة وثنائية الحلقة إلا أن حزمها تكون ضعيفة، كما ظهرت لدينا حزم عائدة لمركبات أحادية الحلقة الأروماتية قرب (256 nm) إلا أنها كانت أكثروضوحاً من الحزم السابقة، ونجد أيضاً حزماً تدل على وجود مركبات تحوي ذرات هجينه حيث تظهر حزم قرب (225nm)؛ وبصورة عامة يزداد ظهور النوع الأخير من الحزم عند الانتقال من طريقة الكرومتوغرافيا إلى طريقة الاستخلاص كرومتوغرافيا. أما الأجزاء الأروماتية فقد لوحظ ظهور حزم أحادية الحلقة بوضوح ملحوظ قرب (256nm)، كما تظهر حزم عائدة لمركبات ثنائية وثلاثية الحلقة الأروماتية أيضاً وتكون مخالفة الشدة بين الأجزاء الأروماتية قيد الدراسة؛ كما ونلاحظ ظهور حزم المركبات متعددة الحلقة الأروماتية في نماذج نفط القيارة والتي تكون أكثر وضوحاً مقارنة مع النماذج الأروماتية لنفط كركوك، كما وتنظر أيضاً حزم تدل على وجود مركبات حاوية ذرات هجينه (O,S,N) قرب (225nm). أما الأجزاء القطبية فلا حظنا ظهور حزم عائدة لمركبات ثنائية الحلقة الأروماتية واحادية الحلقة الأروماتية قرب (256, 270nm) لكنها تكون ضعيفة، وتنظر أيضاً حزم تدل على وجود مركبات حاوية ذرات هجينه (N, S, O) قرب (225 nm)، وكذلك الشموع فقد ظهرت فيها حزم تشير إلى وجود مركبات أحادية الحلقة الأروماتية (وقد تظهر حزم المركبات ثنائية الحلقة الأروماتية ولكنها تكون ضعيفة في بعض الأجزاء ولا تخلو أيضاً من وجود حزم تدل على وجود مركبات تحوي ذرات هجينه قرب (225 nm) وكذلك الحال بالنسبة للجزء المالتيني النفط القيارة الخام ونفط كركوك الخام قبل تجزئتها.(1)

#### - طيف الأشعة تحت الحمراء (IR) للنماذج قيد الدراسة:

يمكن التعرف على الطبيعة الكيميائية للنماذج قيد الدراسة باستخدام طيف الأشعة تحت الحمراء؛ حيث أخذت جميع النماذج المستحصلة بطريقة التجزئة (فضلاً عن نماذج لنفط كركوك الخام ونفط القيارة الخام والجزء المالتيني لكليهما)، ويبدو من خلال نتائج القياس وجود المركبات البارافينية المستقيمة والمترعة والمركبات



النفثينية، إذ يمكن تشخيص المركبات البارافينية طيفياً من متصاصات الأسيات الأساسية وهي امتصاص المط (Stretching) والانحناء (Bending) لأواصر C-H. ويمكن ان نلاحظ من نتائج القياسات ظهور حزم ضمن المدى (3300-3700) سم<sup>-1</sup> وبصورة عامة تعد هذه المنطقة منطقة الهيدروكسيل والأمين نتيجة لامتصاصات الحاصلة عن مط الأواصر N-H, O-H, O-C. كما قد تظهر حزم تشويش أيضاً نتيجة لوجود الرطوبة. وقد تظهر حزمة في الطيف عند (1600-1700) سم<sup>-1</sup> مصاحبة لظهور حزمة في (3460) سم<sup>-1</sup>; وتعُد هذه ميزة لمركبات الكاربونيل، إن الحوامض الكاربوكسيلية لها حزم مط عادة الأصرة (C=O) عند حوالي (1700-1740) سم<sup>-1</sup>، كما لها حزم عريضة لمط الأصرة (O-H) في المنطقة الواقعه ما بين (3333-2500) سم<sup>-1</sup>، أما (C=O) التابعه لمجاميع الاستر فتظهر قرب (1740) سم<sup>-1</sup>. كما ونلاحظ ظهور حزم قرب (1040) سم<sup>-1</sup> في القياسات تعود إلى وجود الكبريت المؤكسد في النماذج المقاسة (كالسلفوسيدات والسلفون). (1)

لو قارنا ما بين طيف امتصاص الأشعة تحت الحمراء للنماذج سنلاحظ في كل من لفط خام كركوك ونفط خام القيارة ظهور حزم قرب (2854,2924) سم<sup>-1</sup> على التوالي والتي تدل على وجود امتصاص للأصرة C-H للميثيلين والميثيل الامتدادية (Stretching) للمركبات الحاوية على جزء مشبع ، أما الحزمة قرب (1460) سم<sup>-1</sup> فهي تعزى إلى امتصاصات الانحناء لأواصر (C-H) للميثيلين للأجزاء المشبعة البارافينات والنفثينات كما تظهر حزمة قرب (1377) سم<sup>-1</sup> والتي تعود لامتصاص الأصرة (C-H) الانحنائية في الميثيل؛ وتكون هذه الحزم في حالة نفط خام كركوك أكثر شدة وحدة مقارنةً مع نفط خام القيارة نلاحظ أيضاً ظهور حزم قرب (1603) سم<sup>-1</sup> والتي تعزى إلى اهتزاز الكترونات TT للأصرة C=C في مستوى الحلقه الأروماتية، وتظهر حزم قرب (873) سم<sup>-1</sup> و (810) سم<sup>-1</sup> و (1032) سم<sup>-1</sup> و (1156) سم<sup>-1</sup> تعود إلى أصرة (C-H) الانحنائية خارج مستوى الجزيئه في المركبات الأروماتية. (1)

وعند إجراء قياسات أخرى لنماذج مستحصلة من مالتين منزوع الاسفلتين لفط خام كركوك ونفط خام القيارة نلاحظ أنها لا تختلف كثيراً عن نتائج قياس نماذج نفط القيارة الخام ونفط كركوك الخام مع بعض الاختلاف من ناحية شدة وحدة الحزم، حيث تظهر لدينا حزم عند (2924,2854) سم<sup>-1</sup> تعود إلى أصرة (C-H) للميثيلين الامتدادية للمركبات الحاوية على أجزاء مشبعة كما ظهرت حزم قرب (1604) سم<sup>-1</sup> والتي تعزى لاهتزازات الأصرة (C=C) في حلقة المركبات الأروماتية كما تظهر حزم قرب (1463) سم<sup>-1</sup> و (1377) سم<sup>-1</sup> والتي تعود إلى امتصاص الأصرة (C-H) الانحنائية في الميثيل والميثيلين. أما الحزم (809) سم<sup>-1</sup> و (727) سم<sup>-1</sup> و (1031) سم<sup>-1</sup> و (117) سم<sup>-1</sup> العائدة للأصرة C-H الانحنائية خارج مستوى الجزيئه في المركبات الأروماتية. أما الأجزاء المشبعة المستحصلة بطريقة التجزئة النفط خام كركوك ونفط خام القيارة (2923) سم<sup>-1</sup> التي تعود إلى امتصاص الأشعة تحت الحمراء نلاحظ ظهور حزم قرب (2854, 2923) سم<sup>-1</sup> التي تعود إلى امتصاص الأصرة (C-H) الامتدادية للميثيلين والميثيل للمركبات الحاوية على أجزاء مشبعة ، وفي طريقة الاستخلاص - كرومتوغرافيا تكون الحزم أشد مما هي عليه في طريقة الكرومتوغرافيا للنماذج ، كما تظهر أيضاً حزم قرب (1603) سم<sup>-1</sup> والتي تعود إلى امتصاص اهتزازات الأصرة (C=C) في مستوى الحلقه الأروماتية للمركب، وتظهر حزم قرب (1463) سم<sup>-1</sup> و (1377) سم<sup>-1</sup> والتي تعود إلى امتصاص الأصرة (CH) الانحنائية في الميثيل والميثيلين وتكون في حالة نماذج نفط القيارة المشبعة ذات شدة أكثر بقليل مقارنة مع نماذج نفط كركوك، كما وتظهر حزم قرب (870,810,742,1033) سم<sup>-1</sup> والتي تعود إلى امتصاص الأصرة (C-H) الانحنائية خارج مستوى الجزيئه في المركبات الأروماتية. (1)

لو قارنا ما بين طيف امتصاص الأشعة تحت الحمراء للنماذج الأروماتية المستحصلة بطريقة التجزئة لفط خام كركوك ونفط خام القيارة نلاحظ ظهور حزم قرب (2923) سم<sup>-1</sup> أو (2853) سم<sup>-1</sup> وهذا النوع من الامتصاصات يدل على وجود امتصاص للأصرة (C-H) لمجاميع الميثيل والميثيلين الامتدادية

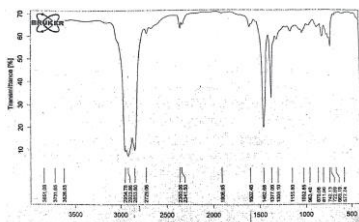


(Stretching) للمركبات الحاوية على جزء مشبع بالمركيبات الاليفاتية والنفتينية) وتكون شدة الحزم في طريقة الاستخلاص - كروماتوغرافيا اكثراً مما هي عليه في طريقة الكروماتوغرافيا فقط للكلا نموذجي (النفط) كما هو الحال للحرمة عند (1456) سم<sup>-1</sup> التي تعزى إلى امتصاصات الانحناء الأواصر (C-H) للميثيلين للأجزاء المشبعة (البارافينات والنفتينات) والتي بعین الوقت تكون شدة الحرمة في حالة نماذج نفط القيارة أقل مقارنة مع نماذج نفط كركوك. كما نلاحظ ظهور حزم قرب (1600) سم<sup>-1</sup> التي تعزى إلى اهتزاز الكترونات π للأصرة (C=C) في مستوى الحلقة الأروماتية وتكون الشدة للحرمة في حالة نماذج نفط القيارة أشد مقارنة مع نماذج نفط كركوك وتكون شدتها في الوقت نفسه بطريقة الكروماتوغرافيا على مقارنة مع تلك المستحصلة بطريقة الاستخلاص - كروماتوغرافيا. ولو عدنا إلى نتائج القياس نلاحظ ظهور حزم قرب (1377) سم<sup>-1</sup> والتي تعود إلى امتصاص الأصرة (C-H) الانحنائية في المثيل وحزم قرب كل من الحزم (865) سم<sup>-1</sup> وحزم (815) سم<sup>-1</sup> و (760) سم<sup>-1</sup> وكذلك (735) سم<sup>-1</sup> تعود إلى اصر الانحنائية خارج (C-H) مستوى الجزيئة في المركبات الأروماتية وتفيد في معرفة عدد المجاميع المغوضة على الحلقة الأروماتية، وتكون هذه الحزم أكثر شدة وحدة في النماذج المستحصلة لنفط خام القيارة مقارنة مع النماذج المستحصلة لنفط خام كركوك، وكذلك تكون الشدة العائدة للنماذج المستحصلة بطريقة الاستخلاص - كروماتوغرافيا أعلى من المستحصلة بطريقة الكروماتوغرافيا فقط.(1)

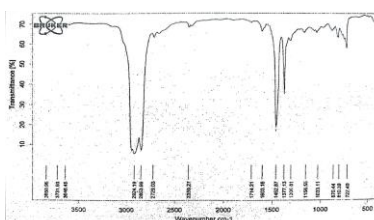
أما نتائج قياس طيف (IR) للنماذج القطبية المستحصلة بطريقي (الكروماتوغرافيا والاستخلاص - كروماتوغرافيا) فللحظ ظهور حزم قرب 2923,2854 سم<sup>-1</sup> والعائدة إلى امتصاص الأصرة (C-H) الامتدادية للميثيلين للمركبات الحاوية على أجزاء مشبعة والحزم كانت أشد في حالة القياس للنماذج المستحصلة بطريقة الاستخلاص - كروماتوغرافيا مقارنة مع النماذج المستحصلة بطريقة الكروماتوغرافيا كما هو الحال بالنسبة للحزم التي تظهر قرب (1456) سم<sup>-1</sup> و (1380) سم<sup>-1</sup> والعائدة إلى امتصاص الأصرة (C-H) الانحنائية في المثيل والميثيلين؛ والحزم قرب 880,815,764 سم<sup>-1</sup> وتظهر مزاحة قليلاً عن هذه الترددات وتعود لامتصاص الأصرة (C-H) الانحنائية خارج مستوى الجزيئة في المركبات الأروماتية و تكون هذه الحزم بعین الوقت في حالة نماذج نفط القيارة القطبية ذات شدة أكثر مقارنة مع نماذج نفط كركوك. كما لوحظ ظهور نوع آخر من الحزم ما بين (1660,1700) سم<sup>-1</sup> التي لمجموعة الكاربونيل (C=O) الكيتونات والالديهايدات وكذلك حزم قرب (1380) سم<sup>-1</sup> إلى اصرة (C-H) الانحنائية في المثيل حيث تكون في النماذج المستحصلة بطريقة الاستخلاص-كروماتوغرافيا أكثر شدة من النماذج المستحصلة بطريقة الكروماتوغرافيا فقط، كذلك النماذج المستحصلة لنفط خام القيارة أكثر شدة من النماذج المستحصلة لنفط خام كركوك، الحوامض الكاربوكسيلية لها حزم مط (C=O) عادة عند حوالي (1700-1740) سم<sup>-1</sup>، أما (C-O)، التابعة لمجاميع الاستر فتظهر قرب (1740) سم<sup>-1</sup> في النماذج المستحصلة بطريقة لاستخلاص - كروماتوغرافيا أكثر شدة من النماذج المستحصلة بطريقة الكروماتوغرافيا فقط، كذلك النماذج المستحصلة لنفط خام القيارة أكثر شدة من النماذج المستحصلة لنفط خام كركوك وهذه الحزم حصل لها تداخلات مع الحزم الواقعة قرب (1600) سم<sup>-1</sup> ولهذا ظهرت مزاحة في موقع أخرى، كما وظهرت حزم ضمن المدى (3300-3700) سم<sup>-1</sup>. أما الشموع المستحصلة بطريقة الاستخلاص ( فقد ظهرت لدينا في قياسات الامتصاص لطيف (IR) ظهور حزم قرب (2018-2850) سم<sup>-1</sup> التي تعود لامتصاص الأصرة - H الامتدادية (Stretching) للميثيلين للمركبات الحاوية على أجزاء مشبعة وتكون حزم الشموع المستحصلة من نفط خام كركوك) أكثر شدة من الحزم المستحصلة من شموع نفط خام القيارة. كما نلاحظ ظهور الحرمة قرب (1600) سم<sup>-1</sup> في شموع نفط خام كركوك وانخفاءها في شموع نفط خام القيارة بسبب التداخلات، كما ظهرت حزم قرب (1464) سم<sup>-1</sup> و (1378) سم<sup>-1</sup> والعائدة لامتصاص الأصرة (C-H) الانحنائية في المثيل والميثيلين وتكون في حالة نماذج شموع نفط القيارة ذات شدة مقاربة لما هي عليه في حالة نماذج شموع نفط خام كركوك كما نلاحظ ظهور حزم قرب (730,815) سم<sup>-1</sup> وتكون مزاحة قليلاً عن هذه الترددات وتعود



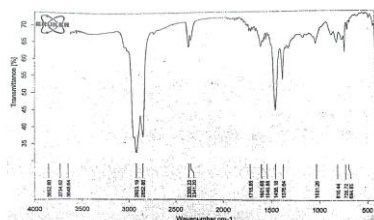
هذه الحزم إلى امتصاص الأصرة C-H الانحنائية خارج مستوى الجزيئة في المركبات الاروماتية وشتها تكون في حالة شموع نفط خام كركوك أقل مما هي عليه في نموذج شموع نفط القيارة.(1)



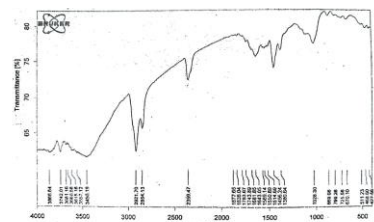
**الشكل 1** طيف الاشعة تحت الحمراء للاجزاء المشبعة المستحصلة بطريقة الكروماتوغرافيا من نفط القيارة



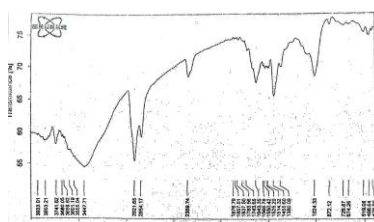
**الشكل 2** طيف الاشعة تحت الحمراء للاجزاء المشبعة المستحصلة بطريقة الكروماتوغرافيا من نفط كركوك



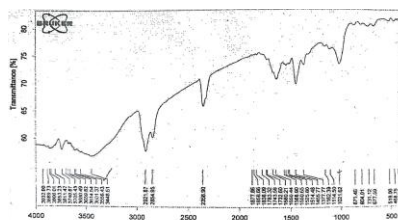
**الشكل 3** طيف الاشعة تحت الحمراء للاجزاء الاروماتية المستحصلة بطريقة الكروماتوغرافيا من نفط القيارة



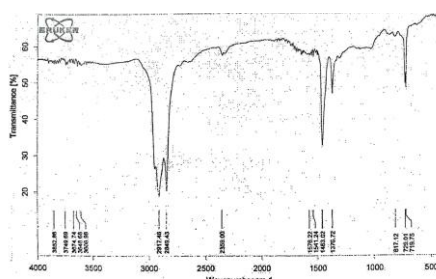
**الشكل 4** طيف الاشعة تحت الحمراء للاجزاء الاروماتية المستحصلة بطريقة الكروماتوغرافيا من نفط كركوك



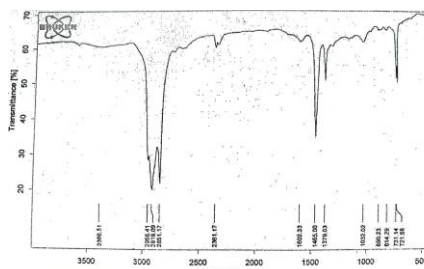
**الشكل 5** طيف الاشعة تحت الحمراء للاجزاء القطبية المستحصلة بطريقة الكروماتوغرافيا من نفط القيارة



الشكل 6 طيف الاشعة تحت الحمراء لاجزاء القطبية المستحصلة بطريقة الكروماتوغرافيا من نفط كركوك



الشكل 7 طيف الاشعة تحت الحمراء لاجزاء الشموع المستحصلة بطريقة الكروماتوغرافيا من نفط القيارة



الشكل 8 طيف الاشعة تحت الحمراء لاجزاء الشموع المستحصلة بطريقة الكروماتوغرافيا من نفط كركوك

#### - طيف الرنين النووي المغناطيسي لبعض النماذج قيد الدراسة

لقد قيس طيف الرنين النووي المغناطيسي للبروتون وكذلك طيف  $^{13}\text{CNMR}$  (الأشكال 9-14)، وتحققـت الدراسة باستخدام المساحة تحت المنحني وعن طريق تحديد امتصاصات البروتونات المختلفة والمبنية في الجدول 3 التي تشمل الهيدروجين الأرomaticي  $\text{H}_\alpha$  والهيدروجين الأرomaticي  $\text{H}_\alpha$  والهيدروجين الفثيني  $\text{H}_n$  وهيدروجين المثيلين البارافيني  $\text{H}_{\text{my}}$  وهيدروجين المثيل البارافيني  $\text{H}_{\text{me}}$  وبتطبيق بعض المعادلات الآتية التي ابتكرها (Riedel) وطورها (Speight) يمكن حساب التوزيع الكاربوني النسبي :

$$\text{Cs} = \text{H}_T(\text{H}_\alpha/2 + \text{H}_n/2 + \text{H}_{\text{my}}/2 + \text{H}_{\text{me}}/3)$$

$$\text{C}_{\text{me}} = \text{H}_T \times \text{H}_{\text{me}}/3$$

$$\text{C}_s - \text{C}_{\text{me}} / \text{C}_{\text{me}} = (\text{C}_s - \text{C}_{\text{me}}) - 1$$

$\text{C}_s - \text{C}_{\text{me}} - 1$  = نسبة ذرات الكربون المثيلينية الى ذرات الكربون المثلية، حيث يمكن اعتبارها مقاييسا لدرجة تفرع الاجزاء المشبعة من الجزيئة.

$\text{C}_s$  = جميع ذرات الكربون المشبعة في الجزيئة.

$\text{C}_{\text{me}}$  = جميع ذرات الكربون المثلية في موقع ليس  $\alpha$  للنظام العطري.



$H_T$  = جميع ذرات الهيدروجين في الجزيئة من التحليل العنصري والوزن الجزيئي.

$H_a$  = جميع ذرات الهيدروجين الواقعة في الموقع  $\alpha$  من الحلقة الأروماتية.

$H_{me}$  = جميع ذرات الهيدروجين المثليلية في موقع ليس  $\alpha$  للنظام العطري.

$H_{my}$  = جميع ذرات الهيدروجين المثليلية البارافينية في الجزيئة التي لا تكون في موقع  $\alpha$  من الحلقة الأروماتية.

$H_n$  جميع ذرات الهيدروجين النفثينية في الجزيئة.(25)

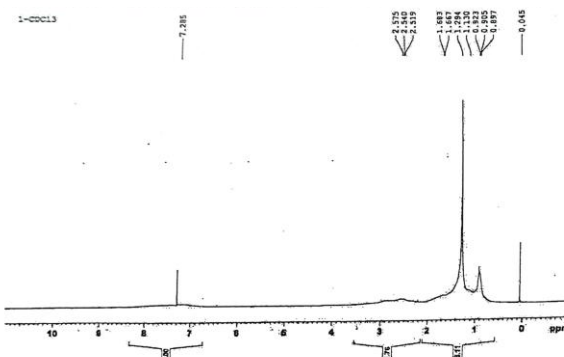
ومن خلال الاطلاع على قيم النتائج التي حصلنا عليها من قياس طيف NMR لهذه الأجزاء (فيid الدراسة) يتضح لنا ان نسبة المواد المشبعة تزداد في الأجزاء الأروماتية لنفط كركوك الخام بما هي عليه في الأجزاء الأروماتية لنفط القيارة الخام والعكس صحيح بالنسبة لنسب المواد الأروماتية . ويمكن ملاحظة ذلك من خلال مراجعة الجداول 3-4 والاطلاع على قيم نسب طيف الرنين النووي المغناطيسي للبروتون المقاسة لهذه الأجزاء الأромاتية.(1) كما نلاحظ أن نسبة التفرع للسلسلة الاليفاتية المعاوضة على الحلقة تختلف فيما بين الأجزاء حيث تزداد من (0.3757, 0.4037, 0.4061, 0.3874) والتي تمثل الأجزاء الأروماتية لنفط كركوك المستحصلة بطريقة الاستخلاص - كروماتوغرافيا (K.chr.)، الأجزاء الأروماتية لنفط كركوك المستحصلة بطريقة الاستخلاص - كروماتوغرافيا (Q.chr.)، الأجزاء الأروماتية لنفط القيارة المستحصلة بطريقة الاستخلاص - كروماتوغرافيا (Q.ex.chr.) على التوالي. إن الأجزاء الأروماتية لنفط كركوك المستحصلة بطريقة الكروماتوغرافيا تكون أقل تعويضا مقارنة مع سائر الأجزاء بالرغم من كونها تحوي أكثر قيمة لنسبيه (H<sub>CH3</sub>) بين هذه الأجزاء المقاسة، كما نلاحظ عدم ظهور حزم تدل على وجود مواد اولييفينية.(1)

### الجدول 3 التوزيع البروتوني النسبي للأجزاء المقاومة بطيف $^1\text{HNMR}$

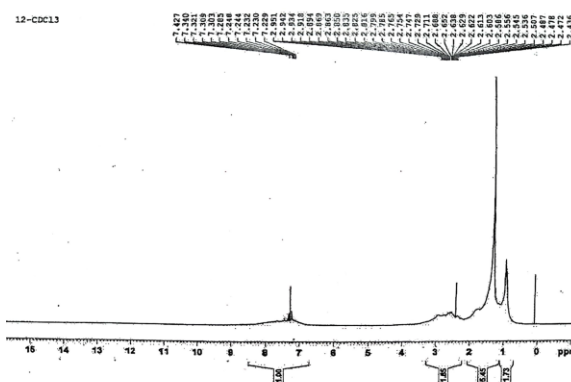
نوع الهيدروجين	Q.ex.chr.	Q.chr.	K.ex.chr.	K.chr.
$H_{me}$	19.09	19.50	19.30	19.58
$H_{my}$	37.04	38.10	37.54	39.42
$H_n$	9.97	10.20	12.28	12.70
$H_a$	19.94	18.59	17.72	15.34
$H_s$	13.96	13.60	13.16	12.96

### الجدول 4 درجة التفرع في الأجزاء المقاومة بطيف $^1\text{HNMR}$

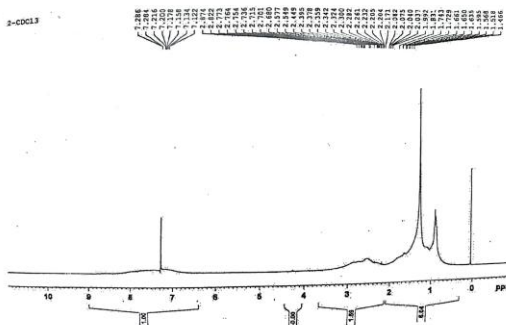
الهيدروجين المثيلي $H_{me}$	درجة التفرع	النموذج
19.09	0.3757	Q.ex.chr.
19.50	0.3874	Q.chr.
19.30	0.4037	K.ex.chr.
19.58	0.4061	K.chr.



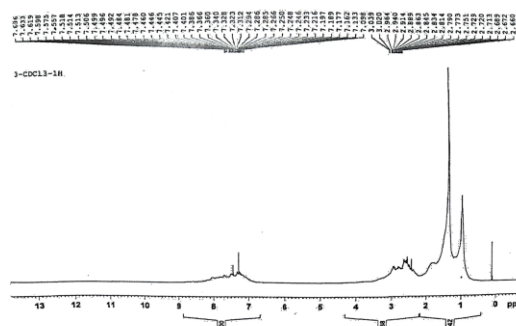
الشكل 9 طيف  $^1\text{HNMR}$  للاجزاء الاروماتية المستحصلة بطريقة الكروماتوغرافيا من نفط كركوك



الشكل 10 طيف  $^1\text{HNMR}$  للاجزاء الاروماتية المستحصلة بطريقة الكروماتوغرافيا من نفط القيارة

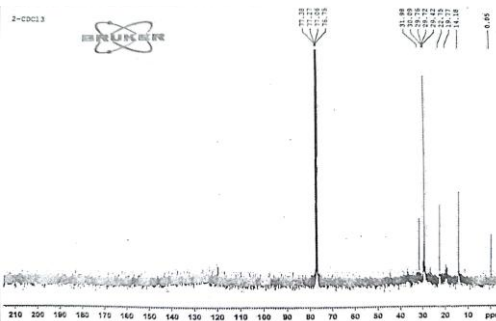


الشكل 11 طيف  $^1\text{HNMR}$  للاجزاء الاروماتية المستحصلة بطريقة الاستخلاص-كرومتوغرافيا من نفط كركوك

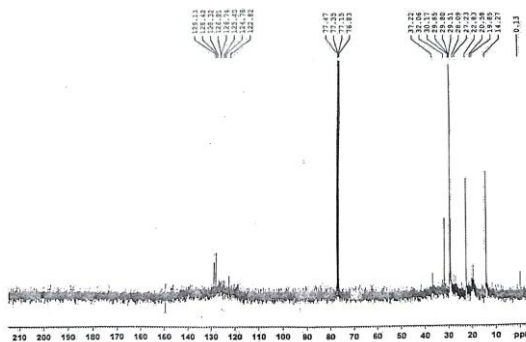




**الشكل 12 طيف  $^1\text{HNMR}$  للاجزاء الاروماتية المستحصلة بطريقة الاستخلاص-كروماتوغرافيا من نفط القيارة**



**الشكل 13 طيف  $^{13}\text{CNMR}$  للاجزاء الاروماتية المستحصلة بطريقة الاستخلاص-كروماتوغرافيا من نفط كركوك**



**الشكل 14 طيف  $^{13}\text{CNMR}$  للاجزاء الاروماتية المستحصلة بطريقة الاستخلاص-كروماتوغرافيا من نفط القيارة**

ان الجدول 3 يوضح التوزيع البروتوني النسبي للاجزاء المقايسة بطيف  $^1\text{HNMR}$  12-9 للنماذج الأروماتية المفصولة من نفط كركوك الخام ونفط القيارة الخام بطرق التجزئة؛ حيث نلاحظ ان البروتونات الأروماتية  $\text{H}_a$  سوف تتركز في المنطقة المحصورة ما بين(8.5-6.5 ppm)، وتكون نسبها في النماذج الأروماتية المستحصلة من نفط القيارة الخام اعلى مقارنة مع تلك المستحصلة من نفط كركوك الخام وهي دليل آخر على ارتفاع المحتوى الأروماتي لنفط القيارة التقليد مقارنة مع نفط كركوك الخفيف، وبنفس الوقت تكون النماذج المستحصلة بطريقة الكروماتوغرافيا اقل من تلك المستحصلة بطريقة الاستخلاص - كروماتوغرافيا، والسبب يعود في ذلك الى زيادة نسبة المواد الأروماتية في الاخيره بسبب ازالة الشموع منها في خطوة الاستخلاص. اما البروتونات الواقعة في الموقع الفا للنظام الأروماتي  $\text{H}_a$  فتظهر ضمن المدى (1.73.4) ppm وتكون نسبها في النماذج الأروماتية المستحصلة من نفط خام القيارة اعلى مقارنة مع تلك المستحصلة من نفط خام كركوك ايضا، اما ضمن المدى (2.2-1.4) ppm فتظهر البروتونات في الانظمة النفثينية البسيطة والمعقدة  $\text{H}_n$  كما وتظهر البروتونات الميثيلينية  $\text{H}_{\text{my}}$  في موقع ليست الفا للنظام الأروماتي مابين (0.9-1.80) ppm ، اما بروتونات الميثيل الاليفاتية في النظام البارافيني او النفثيني او التعويض الجانبي في النظام الأروماتي  $\text{H}_{\text{me}}$  فتظهر ضمن المدى 1.4-0.5 ppm ، ان هذه الانواع من البروتونات انفة الذكر تكون نسبها في النماذج المستحصلة من نفط خام القيارة اقل مما هي عليه في نفط خام المستحصلة من نفط خام كركوك بسبب انخفاض المحتوى الأروماتي في الاخير، كما وتكون نسبها في النماذج المستحصلة بطريقة الاستخلاص - كروماتوغرافيا؛ اقل مقارنة مع مثيلاتها المستحصلة بطريقة الكروماتوغرافيا فقط والسبب



يعود في ذلك إلى ازالة الشموع في خطوة الاستخلاص بطريقة الاستخلاص - كروماتوغرافيا، كما نلاحظ ظهور حزمة تظهر عند الموضع (7.26 ppm) في المنطقة الأروماتية في جميع الاطياف تعود إلى المذيب المستخدم (CDC) في قياس طيف  $^1\text{H}\text{NMR}$  (1).

ونلاحظ من الاشكال 13-14 لطيف ( $^{13}\text{CNMR}$ ) للجزاء الأروماتية المستحصلة بطريقة الاستخلاص - كروماتوغرافيا لنفط كركوك الخام ونفط القيارة الخام ان هذا الطيف يقسم بصورة عامة الى قسمين المنطقة الأروماتية تتحصر تقريبا ضمن المدى ppm (110-160) والتي لم تظهر في طيف النموذج العائد لنفط كركوك الخام بصورة واضحة بسبب تداخلها مع الضوضاء (التشويش) للجهاز بينما الحال يكون مختلف مع النموذج العائد لنفط القيارة حيث تظهر الحزم بصورة واضحة وهذا يدعم ما توصلنا اليه من نتائج حول ارتفاع المحتوى الأروماتي لنفط القيارة الخام مقارنة مع نفط كركوك الخام، اما القسم الثاني فيتضمن المنطقة الاليفاتية والتي تتحصر تقريبا ضمن المدى ppm (60-5) حيث نلاحظ في النموذجين المستحصلين بطريقة الاستخلاص - كروماتوغرافيا لنفط القيارة الخام ونفط كركوك الخام ظهور حزم عند هذا التردد؛ وكذلك تظهر حزم واضحة قرب (77.4 ppm) والتي تعود إلى كاربون المذيب المستخدم في القياس. ومن الجدير بالذكر ان الطيف لم تظهر فيه حزم قرب (180 ppm) والتي تعود إلى ذرات الكاربون الكاربوكسيلي وهذا دليل على خلو هذه النماذج من هذا النوع من الكاربون (أي لا تتوارد بكمية محسوبة). ولكي يتم الاستفادة من القيم المحسوبة في الجدول 3 فيجب أن يتتوفر لدينا طريقة لحساب الوزن الجزيئي الحقيقي ويجب أن يتتوفر أيضا قياس لنسب المكونات الأساسية خاصة الكاربون والهيدروجين (Elemental analysis) أي تحليل العناصر النسبية الشامل (Ultimate analysis) كما تم التنوية مسبقا. وعند الاطلاع على طيف الرنين النووي المغناطيسي للكاربون-13 (للماذج المقابلة) تظهر لدينا حزم في موقع امتصاص المركبات الأروماتية إلا أننا نلاحظ أن هذه الحزم لا تظهر بالضبط عند الموضع (128.70 ppm) الذي يعود إلى امتصاص مركب البنزين بل تظهر في موقع قرب (128.30, 128.50, 125.60, 128.50 ppm) التي تعود إلى امتصاصات مركبات تحوي حلقات معرفة، أي أننا يمكن أن نستنتج من هذا خلو الماذج المقابلة من وجود بنزين غير معرف، وبعين الوقت يمكن أن نلاحظ أن الحزم (بهذه الموضع نفسها) تكون في طيف الجزء الأروماتي لنفط كركوك المستحصل بطريقة الاستخلاص - كروماتوغرافيا ضعيفة جدا بحيث تتدخل مع الضوضاء للجهاز (Noise)، ويمكن أن نعد ظهور هذا النوع من الحزم في نموذج الجزء الأروماتي لنفط القيارة المستحصل بطريقة الاستخلاص- كروماتوغرافيا (Q.ex.chr.) بوضوح وضعفها في الجزء الأروماتي لنفط كركوك المستحصل بطريقة الاستخلاص – كروماتوغرافيا (K.ex.chr.). عائد إلى وجودها يتركيز أعلى في نموذج (Q.ex.chr.) حيث يكون ذا محتوى أروماتي عال مقارنة مع نموذج (K.ex.chr.). كذلك يدل الطيف  $^{13}\text{CNMR}$  على وجود مركبات مشبعة حيث تظهر حزم ضمن المدى (0-35) ppm وفي موقع مختلفة، فتظهر حزم قرب (13.20, 15.60, 22) ppm تدل على ( $\text{CH}_3$ ) او ( $\text{CH}_2$ ) في السلسل البارافينية الطويلة، كما تظهر حزم قرب (29) ppm تدل على ( $\text{CH}_3$ ) او ( $\text{CH}_2$ ) في السلسل البارافينية الطويلة وفي السلسل البارافينية المتفرعة وكذلك تظهر حزم قرب (29) ppm قد تعود إلى مجموعة ( $\text{CH}$ ) في السلسل البارافينية المتفرعة أيضاً؛ وتظهر حزم أخرى تعود إلى محاميع ( $\text{CH}_2$ ) في السلسل البارافينية الطويلة قرب (34.50, 31.80) ppm (1).

#### - طريقة طيف الأشعة فوق البنفسجية لتقدير الكاربون الأروماتي كميا

من خلال إجراء الحسابات فقد تم التوصل إلى منحنيات (Calibration curves) يمكن على أساسها حساب محتوى الكاربون الأروماتي في الماذج الأروماتية المستحصلة من مالتين نفطي كركوك والقيارة بطريقة التجزئة بطريقة الإسقاط وميل المنحني (Slope). وبيبين الجدول 5 القيم المستحصلة من قياسات طيف الأشعة فوق البنفسجية لنموذج المقابلة القياسي المحضر، حيث تم استخدام هذه المعطيات لرسم المنحني



وإيجاد معادلة ميل هذا المنحني؛ حيث ان القيم المستحصلة من ( $\sum A$ ) تمثل مجموع الامتصاصات المستحصلة عند الأطوال الموجية nm (250,260,270,280,290,300,310,320) بينما ( $\sum AUCE$ ) تمثل محصلة الاوزان الناتجة عن القص الاوراق Trace paper للمساحات المستحصلة من المنطقة الأروماتية تحت منحني الطيف للاشعة فوق البنفسجية بين (320 - 250nm).(1)

$$Y = 14.88X + 9.615$$

$$Y = \sum A \dots 1$$

$$\sum A = 14.88X + 9.615$$

$$Y = 9.681X + 5.071$$

$$\sum AUCE = 9.681X + 5.071$$

$$Y = \sum AUCE \dots 2$$

#### جدول 5 معطيات المنحني القياسي لامتصاص UV في المجال 250-320 nm

مجموع الامتصاصات $\sum A$ 320nm)	مجموع الامتصاصات بين (250-320nm) $\sum AUCE$	نسبة المحتوى الأروماتي الحقيقة $\%C_{Actual}$	التركيز V/V
12.7	7.16	0.19	$4 \times 10^{-4}$
14.1	7.8	0.29	$6 \times 10^{-4}$
14.2	8.18	0.38	$8 \times 10^{-4}$
17.4	10.12	0.48	$1 \times 10^{-3}$

وبعد تحضير النماذج الأرماتية المستحصلة من مالتين نفطي كركوك والقيارة بطريقة التجزئة تم قياس طيف الاشعة فوق البنفسجية لهذه النماذج، ويتم إدخال القيم المستحصلة للمجاهيل على معادلات ميل المنحني القياسي وتطبيقاتها ومن خلال ذلك يمكننا إيجاد قيم المحتوى الكاربوني الأرماتي الحقيقي لهذه المجاهيل بطريقة الاسقط وميل المنحني الجدول 6. من خلال النتائج يمكن ملاحظة أنها لا تختلف عن النتائج التي حصلنا عليها من الطرائق الأخرى من حيث دلالتها على ارتفاع محتوى الكاربون الأرماتي في النماذج المستحصلة من نفط القيارة الخام مقارنة مع النماذج المستحصلة من نفط كركوك الخام ؛ وبصورة عامة نلاحظ ان الاجزاء المستحصلة بطريقة الاستخلاص - كرومتوغرافيا يكون محتواها من الكاربون الأرماتي أعلى مقارنة مع تلك المستحصلة من طريقة كرومتوغرافيا فقط. كما ونلاحظ ان النتائج المستحصلة من القص  $\sum AUCE$  تكون أعلى من تلك المستحصلة من مجموع الامتصاصات  $\sum A$  ؛ وقد يعود سبب ذلك إلى التداخلات الطيفية فتؤدي إلى اعطاء قيم أكبر في حالة القص مقارنة مع الأخرى، وقد يكون من الممكن تلافي ذلك لو تم استخدام جهاز طيف أشعة فوق البنفسجية (Ultraviolet spectrometer) ذات دقة وكفاءة أعلى أو لو توفر لدينا طريقة كفؤة لحساب المساحة مثل الـ (Planometer).(1).

#### جدول 6 قيم المحتوى الكاربوني للنماذج المدروسة بطريقة طيف لامتصاص UV (الكمية) في المجال 250-320 nm



النوع	مجموع الامتصاصات $\Sigma A$ بين (250-320nm)	نسبة المحتوى الأروماتي المقدرة $\%C_{Actual}$	مجموع الامتصاصات $\Sigma AUCE$ بين (250-320nm) بطريقة الفحص	نسبة المحتوى الأروماتي الحقيقي $\%C_{Actual}$
الأجزاء الأروماتية/استخلاص كرومتوغرافي/القيارة	13.70	27.45	8.00	30.26
الأجزاء الأروماتية/كرومتوغرافي/القيارة	12.53	19.59	7.10	20.96
الأجزاء الأروماتية/استخلاص كرومتوغرافي/الكريوكوك	11.92	15.49	6.90	18.89
الأجزاء الأروماتية/كرومتوغرافي/الكريوكوك	11.79	14.62	6.26	12.28

### الاستنتاجات والتوصيات:

من خلال موضوع بحث الدراسة حول المقارنة ما بين نفط خام كركوك الخفيف ونفط خام القيارة التقيل، فقد بينت الدراسة ما يلي:

1- يحوي نفط خام القيارة على مخلفات عالية مقارنة مع نفط خام كركوك ويمكن ملاحظة ذلك من نسبة الاسفلتين والمواد المستقطبة (Polar) العالية في نفط خام القيارة مقارنة مع نسبتها في نفط خام كركوك. بينما يحوي نفط خام كركوك على نسبة أعلى من المواد المشبعة مقارنة مع نفط خام القيارة ويمكن ملاحظة ذلك من خلال المقارنة ما بين نسب الشموع (Wax) والزيوت (Oils) المستحصلة بطريقة التجزئة طريقة الاستخلاص - كرومتوغرافيا لهذين النفتين. كما وقد بينت الدراسة ان نفط خام كركوك يحوي على نسبة أقل من المواد الأروماتية نفط مقارنة مع خام القيارة ويمكن ملاحظة ذلك من خلال المقارنة ما بين النسب المستحصلة بطريقة التجزئة طريقة الكرومتوغرافيا فقط وطريقة الاستخلاص كرومتوغرافيا. اضافة الى ان من خلال مقارنة النتائج المستحصلة من طريقة التجزئة طريقة الكرومتوغرافيا فقط وطريقة الاستخلاص - كرومتوغرافيا المطبقة على نفط خام كركوك ونفط خام القيارة نلاحظ ان نسب المواد المشبعة في طريقة الكرومتوغرافيا فقط تكون اعلى مقارنة مع نظيرتها المستحصلة من طريقة الاستخلاص - كرومتوغرافيا ولكل النفتين؛ والعكس صحيح بالنسبة للاجزاء الأروماتية والاجزاء القطبية.

2- عند الاطلاع على النتائج المستحصلة من قياس طيف الاشعة فوق البنفسجية للنماذج قيد الدراسة نلاحظ انها لم تشر إلى وجود حلقة اروماتية غير معرفة فيها وبعين الوقت أشارت إلى وجود نسب متفاوتة من مرکبات أحادية وثنائية ومتعددة الحلقة الأروماتية والمعروفة كما تم ذكره في النتائج والمناقشة.

3- أما النتائج المستحصلة من طيف الاشعة تحت الحمراء يمكننا القول وبصورة عامة ان المركبات المستخلصة بمذيب الهكسان بطريق التجزئة المالتين نفط كركوك ومالتين نفط القيارة يبدو عليها الطابع البارافيني الطويل السلسلة القليل التقرع مع وجود حلقات نفثينية. وعند الانتقال الى المستخلص التالي المستحصل بمذيب الهكسان - التولوين ( التولوين ) نجد ان الصفة الأروماتية والنفثينية قليلة التعويض بالمركبات البارافينية التي بدورها اقصر من ذي قبل وأقل تفرعاً، هذه الصفة هي التي تسود في حين نجد ان المستخلص المستحصل ( بواسطة مزيج ثنائي كلوريد الميثيلين - ميثانول ) يكون ذا طابع اروماتي نفثيني معرض بسلسلة بارافينية قصيرة كثيرة ومنقرضة بصورة معقدة جعلت من هذه المركبات ان تكون ذات استقطابية عالية ويمكن ملاحظة ذلك من خلال وجود الامتصاصات الخاصة بمجاميع الاستر وخاصة (C=O) و (C-O-R)

4- من خلال النتائج المستحصلة من قياس طيف الرنين النووي المغناطيسي ( $^1H$ ) و ( $^{13}C$ ) نلاحظ أنها أضافت إلى المعلومات السابقة ان نفط خام كركوك فيه نسبة تفرع أعلى مقارنة مع نفط خام القيارة وبنفس



الوقت نلاحظ ان نسبة التفرع في النماذج الأروماتية وكل النفطين المستحصلة طريقة الكروماتوغرافيا فقط تكون اعلى مقارنة مع نظيرتها للنماذج المستحصلة بـ طريقة الاستخلاص - كروماتوغرافيا.

5- تم تقدير المواد الأروماتية كميا في النماذج الأروماتية المستحصلة من تجزئة نفط خام كركوك ونفط خام القيارة ايضا بطريقتي الكروماتوغرافيا فقط و الاستخلاص كروماتوغرافيا من خلال قياس طيف الاشعة فوق البنفسجية ومن ثم حساب القيم المستحصلة من  $\sum A$  (مجموع الامتصاصات المستحصلة ضمن مدى الاطوال الموجية 250nm - 320) وكذلك تقدير وحساب  $\sum AUCE$  (التي تمثل محصلة مجموع الاوزان الناتجة عن القص الاوراق Trace paper للمساحات المستحصلة من المنطقة الأروماتية تحت منحنى الطيف للاشعة فوق البنفسجية بين 250nm - 320) ومقارنتها مع نتائج لنموذج محضر من مزيج لمواد اروماتية نقية.

6- على الرغم من ان الدراسة الحالية كانت متواضعة إلى حد ما في معرفة مكونات المالتين؛ إلا ان فصل تلك المكونات كل على افراد ومن ثم دراستها بالتقنيات الحديثة على امل الحصول على نتائج أفضل وخصوصا فيما يخص تقدير المحتوى الكاربوني الأروماتي ستكون الحاجة ملحة بالتأكيد إلى استخدام أجهزة حديثة غير متوفرة حاليا مثل على ذلك تحليل) العناصر الكلي Ultimate analysis والوزن الجزيئي وكروماتوغرافيا الغاز للوصول إلى الهدف المطلوب من أجل الوصول إلى النسب الحقيقية والاستفادة منها في دراسات مستقبلية أخرى.

#### المصادر : References

- 1- الأجار، ر.ق.، علي، ل. ح.، (2010) "رسالة ماجستير" جامعة الموصل، كلية العلوم، قسم الكيمياء.
- 2- Simanzhenkov, V.; and Idem, R., (2003), "Crude oil chemistry", Marcel Dekker, INC., New York, pp. 187.
- 3- سليم ز . م، (1985)، "رسالة ماجستير " جامعة الموصل، كلية العلوم، قسم الكيمياء.
- 4- Al-Dobouni, I. A., (1977), "M.SC Thesis", Mosul university, College of Science, Department of chemistry.
- 5- Ali, L. H. and Al-Sayigh, H. Y., (1978), "Symposium on characterisation of heavy crude oil and petroleum residue, Lyon, France, PP. 513-519.
- 6- Al-Sayigh, H. Y., (1978), "M.Sc. Thesis", Mosul university, College of Science, Chemistry Department.
- 7- Ramathan, A. M., (1978), "M.Sc. Thesis ", Mosul university, College of Science, Chemistry Department.
- 8- صالح ، ج. م . ، (1980)، " كيمياء السطح والعوامل المساعدة " ، مطبعة كلية العلوم، جامعة بغداد ص 13
- 9- Henglein, F. A., And Dr.,h.c., (1969), "Chemical technology", Ed. 1ST, Verlag Chemie, London.



10- أبوث ، د. ؛ واندروس ، أر . إس . (1982)، "دراسة تمهيدية في الكروماتوغرافيا" ، كلية العلوم ، العراق ، ص 20.

11- Speight, J. G., (2001), "Hand book of petroleum analysis", A John Wiley and Sons, Inc., New York, Vol. 158, pp. 85, 225, 234, 236, 242-255, 273, 274.

12- Kuriacose, J. C., And Rajarm, J., (1984),"Chemistry in engineering and Technology", Vol. 1, Tata McGraw-Hill Publishing Company Limited, New Delhi, pp. 158, 159, 160.

13- Waddoms, A. L., (1973), "Chemicals from petroleum", A. Lawrence Waddams, London, pp. 212, 213, 238.

14- McLean, J. D., And Kilpatrick, P. K., (1997), "Comparison of precipitation and extrography in the fractionation of crude oil residua", Energy & Fuel, Vol. 11, pp. 570-585.

15- Grashol, T. A., (2005), "Investigation of asphaltene precipitation mechanisms on the Gyda Field", Dept. of Petroleum Engineering & Applied Geophysics,Norwegian university of science and technology.

16- Aske, N., "Ph.D. Thesis", (2002), Department of chemical engineering, Norwegian university of science and technology.

17- البوتأني ، ع. س. ع . (2007)، "اطروحة دكتوراه " ، جامعة الموصل ، كلية التربية ، قسم الكيمياء.

18- Agrawala, M., (2001), "M.SC. Thesis", university of Calgary, College of Science, Department of chemical & petroleum engineering. 74- Parkes, G. D. and Phil, M. A., (1951), "Moller's modern inorganic chemistry", Longamns, Green and Co.Ltd., London.

19- Solaimany, A.R.; and Bayandory, N.L., (2008), "Investigation of Asphaltene Stability in the Iranian crude oils", Iranian Journal Chemical Engineering, Vol. 5, No.1.

20- Fan, T. and Buckley, J. S., (2002), "Rapid and Accurate SARA Analysis of Medium Gravity Crude Oils" Energy & Fuels, Vol.16, pp. 1571-1575,. Cited by Schwartz, R.D.; and Brasseaux, D. J., (1999), "Separation of Saturated hydrocarbons from petroleum residues.

21- Mansoori, G.A.; Vazquez, D.; and Shariaty-Niassar, "Polydispersity of heavy organics in crude oil and their rolein oil well fouling", Journal of petroleum science and Engineering, xx (2007), XXX-XXX.

22- Parkes, G. D. and Phil, M. A., (1951), "Moller's modern inorganic chemistry", Longamns, Green and Co.Ltd.,London.



- 23- Gruse, W. A., and Stevens, D. R., (1960), "Chemical technology of petroleum", Ed., 3rd, McGraw-Hill book company, INC, New York, pp.310, 318.
- 24- Speight, J. G., (2002), "Chemical and Process design handbook", McGraw-Hill, New York, pp.2.42, 2.43.
- 25- علي، ل. ح. والدبوسي ، ع. ع.، (1986)، "النفط المنشأ والتركيب والتكنولوجيا " ، مديرية دار الكتب للطباعة والنشر ، جامعة الموصل ، ص 9 ، 15-14 ، 165-183 .
- 26- جيمس أ. إم. وبريجارد إف. إيه.، (1985)، " الكيمياء الفيزيائية العملية " ، مطبع جامعة الموصل - مديرية مطبعة الجامعة ، ص 194 ، 443 .
- 27- Al-Abachi, M. Q. and Al-Ghabsha, T. S., (1986), "Fundamentals of analytical chemistry", Mosul university press, PP.303-310,413.
- 28- محمد ف. ج؛ فروحة ، ص . م . وقصير ز . م . ، (1984)، "التحليل الكيميائي الآلي" مطبعة جامعة بغداد، ص ، 47 ، 49 ، 51 ، 53 ، 55 ، 57 ، 123 ، 130 ، 131 .
- 29- Ali, L. H.; and Al-Ghannam, K. A., (1981), "Investigation into asphaltenes in heavy crude oils", Fuel, Vol. 60, pp. 1043-1046.
- 30- Hirsch, D. E., Hophkns, R. L., Coleman, H. J., Cotton, F. O. and Thompson, C. J., (1972), "Separation of High-boiling petroleum distillates using gradient elution through Daul-Packed (Silica gel Alumina gel) Adsorption columns", Analytical chemistry, Vol. 44, No. 6, pp. 915-919.
- 31- 99- Speight, J. G., (1980), "The chemistry and technology of petroleum", 3P Marcel Dekker Inc., New York.